

初边值条件为：

$$\begin{aligned} u(0, x) &= g(x), & x \in \Omega, \\ u(t, x) &= h(t, x), & x \in \partial\Omega, \quad 0 \leq t \leq T, \end{aligned} \quad (5)$$

我们直接在损失函数中加入两个惩罚项：

$$\begin{aligned} \mathcal{L}_{u_i}(\theta) &= \|u_\theta(0, x) - g(x)\|_2 = \left(\int_{\Omega} (u_\theta(0, x) - g(x))^2 dx \right)^{\frac{1}{2}} \\ \mathcal{L}_{u_b}(\theta) &= \|u_\theta(t, x) - h(t, x)\|_2 = \left(\int_{[0, T] \times \partial\Omega} (u_\theta(t, x) - h(t, x))^2 dt dx \right)^{\frac{1}{2}}. \end{aligned} \quad (6)$$

误差下降曲线

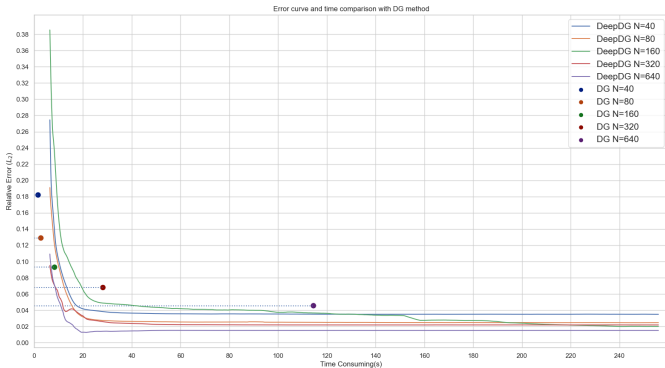


图 5: 深度学习误差下降曲线和传统方法的用时对比

Burgers' 方程

PINN 误差下降曲线

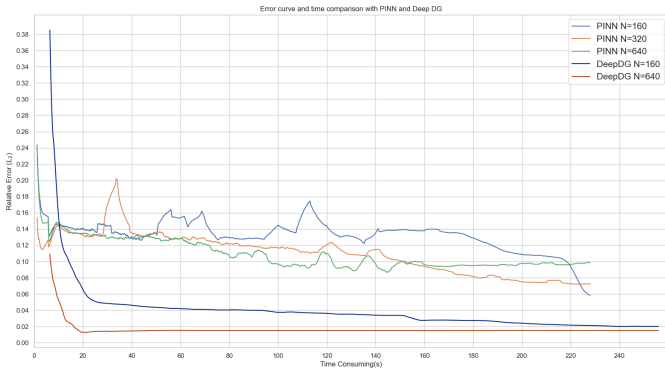


图 6: PINN 误差下降曲线

数据对比

传统DG方法	用时(s)	相对误差(%)	波场存储空间(kb)
DG方法(N=320)	28.2	6.8	1280
深度学习方法	误差达(6.8%)用时(s)	收敛时相对误差(%)	波场存储空间(kb)
DeepDG(N=40)	13.3 (0.47)	3.5	14 (0.011)
DeepDG(N=80)	12.3 (0.43)	2.5	14 (0.011)
DeepDG(N=160)	19.4 (0.69)	2.0	14 (0.011)
DeepDG(N=320)	8.7 (0.30)	2.1	14 (0.011)
DeepDG(N=640)	8.6 (0.30)	1.2	14 (0.011)

图 7: burgers' 方程数据对比

数据对比

传统DG方法	用时(s)	相对误差(%)	波场存储空间(kb)
DG方法(N=640)	114.5	4.6	3840
深度学习方法	误差达(4.6%)用时(s)	收敛时相对误差(%)	波场存储空间(kb)
DeepDG(N=40)	17.2 (0.15)	3.5	14 (0.0036)
DeepDG(N=80)	15.4 (0.13)	2.5	14 (0.0036)
DeepDG(N=160)	40.3 (0.35)	2.0	14 (0.0036)
DeepDG(N=320)	11.7 (0.10)	2.1	14 (0.0036)
DeepDG(N=640)	10.9 (0.09)	1.2	14 (0.0036)

图 8: burgers' 方程数据对比

1 维声波方程

① 研究背景

② 基于深度学习的传统数值方法

③ 数值算例

Burgers' 方程

1 维声波方程

点源一维声波方程

④ 下一步工作安排

⑤ 参考文献

1 维声波方程

我们考虑如下的一维声波方程

$$\frac{\partial^2 u}{\partial t^2} - c^2 \frac{\partial^2 u}{\partial x^2} = 0 \quad (8)$$

初值条件为

$$\begin{cases} u(x, 0) = \cos\left(-\frac{2\pi f_0}{c}x\right) \\ \frac{\partial u(x, 0)}{\partial t} = -2\pi f_0 \sin\left(-\frac{2\pi f_0}{c}x\right) \end{cases}$$

该方程有解析解:

$$u(t, x) = \cos\left(2\pi f_0 t - \frac{2\pi f_0}{c}x\right)$$

计算区域为 $0 \leq x \leq 4\text{km}, 0 \leq t \leq 0.5\text{s}$ 。

1 维声波方程

1 阶格式结果

我们采用 LLF 通量，并用二阶 TVD 时间离散格式得到结果如下：

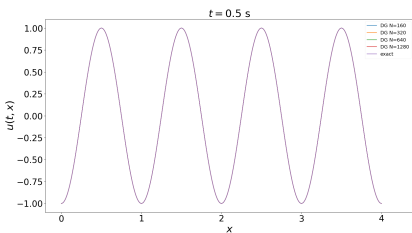


图 9: 传统 DG 方法 1 阶格式结果 $t = 0.5$

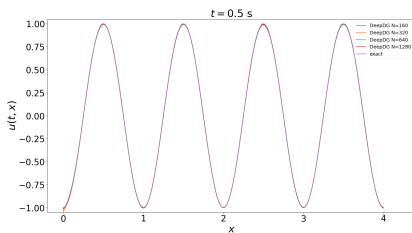


图 10: 深度学习 DG 方法 1 阶格式结果 $t = 0.5$

1 维声波方程

误差下降曲线

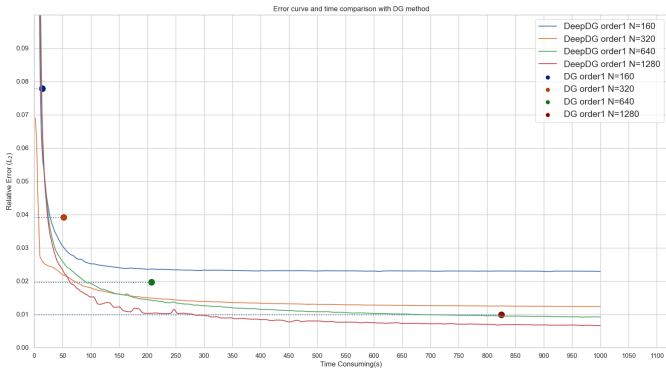


图 11: 深度学习误差下降曲线和传统方法的用时对比

数据对比

传统DG方法	用时(s)	相对误差(%)	波场存储空间(kb)
DG方法(N=640)	207.39	1.96	10240
深度学习方法	误差达(1.96%)用时(s)	收敛时相对误差(%)	波场存储空间(kb)
DeepDG order1(N=320)	74.4 (0.36)	1.2	42 (0.0041)
DeepDG order1(N=640)	91.4 (0.44)	0.91	42 (0.0041)
DeepDG order1(N=1280)	63.4 (0.30)	0.65	42 (0.0041)

图 12: 1 维声波方程方程 1 阶格式数据对比

1 维声波方程

2 阶格式结果

我们采用 LLF 通量，并用二阶 TVD 时间离散格式得到结果如下：

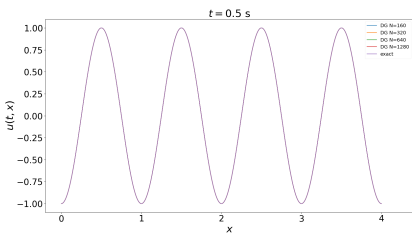


图 13: 传统 DG 方法 2 阶格式结果 $t = 0.5$

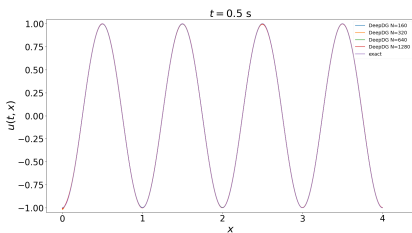


图 14: 深度学习 DG 方法 2 阶格式结果 $t = 0.5$

1 维声波方程

误差下降曲线

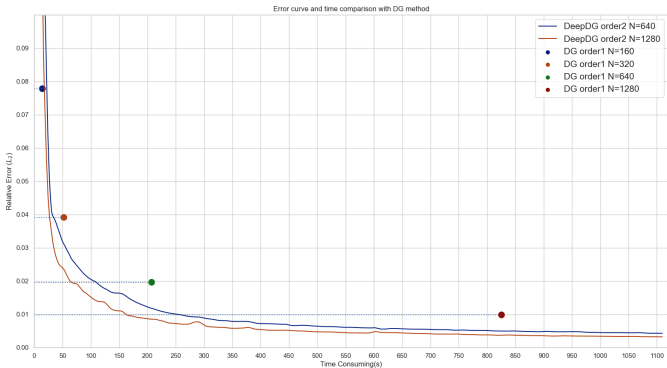


图 15: 深度学习误差下降曲线和传统方法的用时对比

数据对比

传统DG方法	用时(s)	相对误差(%)	波场存储空间(kb)
DG方法(N=640)	207.39	1.96	10240
深度学习方法	误差达(1.96%)用时(s)	收敛时相对误差(%)	波场存储空间(kb)
DeepDG order2(N=640)	109.5 (0.52)	0.42	63 (0.0062)
DeepDG order2(N=1280)	65.8 (0.31)	0.32	63 (0.0062)

图 16: 1 维声波方程方程 1 阶格式数据对比

数据对比

传统DG方法	用时(s)	相对误差(%)	波场存储空间(kb)
DG方法(N=1280)	825.53	0.98	39680
深度学习方法	误差达(0.98%)用时(s)	收敛时相对误差(%)	波场存储空间(kb)
DeepDG order2(N=640)	259.4 (0.31)	0.42	63 (0.0062)
DeepDG order2(N=1280)	163.5 (0.19)	0.32	63 (0.0062)

图 17: 1 维声波方程方程 1 阶格式数据对比

1 研究背景

2 基于深度学习的传统数值方法

3 数值算例

Burgers' 方程

1 维声波方程

点源一维声波方程

DG 格式结果

LWC 格式结果

4 下一步工作安排

5 参考文献

点源一维声波方程

我们考虑如下形式的声波方程：

$$\frac{\partial^2 u}{\partial t^2} - c^2 \frac{\partial^2 u}{\partial x^2} = f(t, x)$$

初边值条件均为 0，点源

$$f(t, x) = -9.6f_0(0.6f_0t - 1) \exp(-8(0.6f_0t - 1)^2) \delta(x - x_0)$$

其中 $c = 2$ 表示波速， $f_0 = 20$ 表示频率，我们在下面的数值计算中选取 $t = 0$ 时刻作为初值，计算区域为 $0 \leq x \leq 4\text{km}$ 。

点源一维声波方程

误差下降曲线

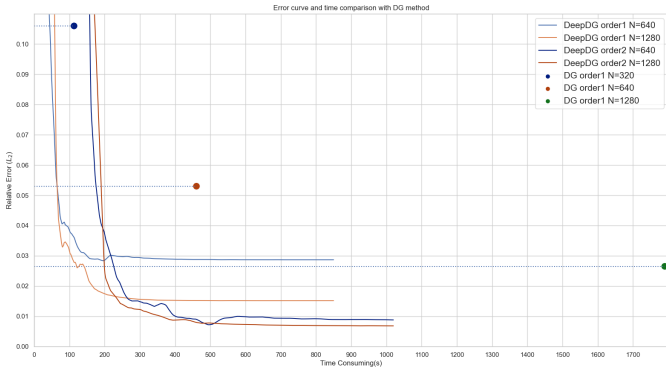


图 22: 深度学习误差下降曲线和传统方法的用时对比

数据对比

传统DG方法	用时(s)	相对误差(%)	波场存储空间(kb)
DG方法(N=640)	460.5	5.3	10240
深度学习方法	误差达(5.3%)用时(s)	收敛时相对误差(%)	波场存储空间(kb)
DeepDG order1(N=640)	64.9 (0.14)	2.8	70 (0.0068)
DeepDG order1(N=1280)	64.9 (0.14)	1.5	70 (0.0068)
DeepDG order2(N=640)	175.8 (0.38)	0.71	70 (0.0068)
DeepDG order2(N=1280)	190.0 (0.41)	0.67	70 (0.0068)

图 23: 1 维点源声波方程方程 1 阶 DG 格式数据对比

数据对比

传统DG方法	用时(s)	相对误差(%)	波场存储空间(kb)
DG方法(N=1280)	1790.2	2.65	39680
深度学习方法	误差达(2.65%)用时(s)	收敛时相对误差(%)	波场存储空间(kb)
DeepDG order1(N=1280)	120.2 (0.067)	1.5	70 (0.0017)
DeepDG order2(N=640)	225.8 (0.12)	0.71	70 (0.0017)
DeepDG order2(N=1280)	199.2 (0.11)	0.67	70 (0.0017)

图 24: 1 维点源声波方程方程 1 阶 DG 格式数据对比

LWC 格式结果

我们采用 2 阶 LWC 格式，得到结果如下：

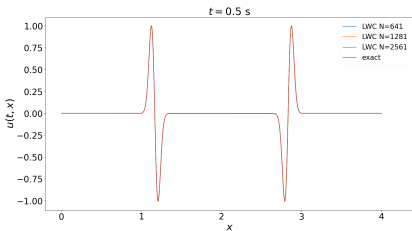


图 25: 传统 LWC 格式结果
 $t = 0.5$

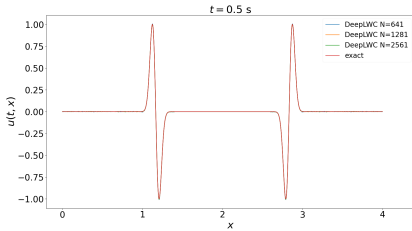


图 26: 深度学习 DG 方法 2
阶格式结果 $t = 0.5$

点源一维声波方程

误差下降曲线

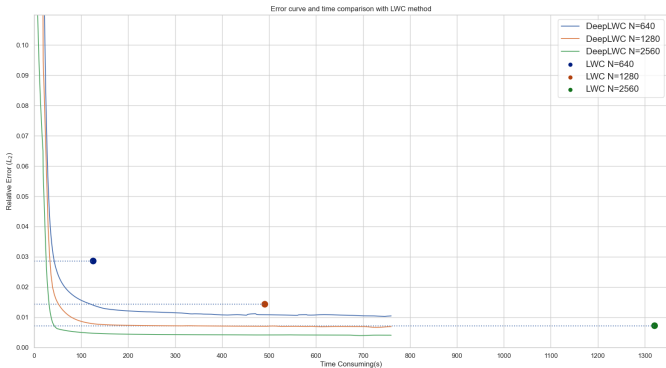


图 27: 深度学习误差下降曲线和传统方法的用时对比

数据对比

传统LWC方法	用时(s)	相对误差(%)	波场存储空间(kb)
LWC方法(N=640)	125.5	2.86	3840
深度学习方法	误差达(2.86%)用时(s)	收敛时相对误差(%)	波场存储空间(kb)
DeepLWC (N=640)	42.56 (0.33)	1.0	83 (0.021)
DeepLWC (N=1280)	33.82 (0.26)	0.66	83 (0.021)
DeepLWC (N=2560)	25.46 (0.20)	0.39	83 (0.021)

图 28: 1 维点源声波方程方程 1 阶 LWC 格式数据对比

数据对比

传统LWC方法	用时(s)	相对误差(%)	波场存储空间(kb)
LWC方法(N=1280)	491	1.43	14080
深度学习方法	误差达(1.43%)用时(s)	收敛时相对误差(%)	波场存储空间(kb)
DeepLWC (N=640)	120.46 (0.24)	1.0	83 (0.005)
DeepLWC (N=1280)	52.06 (0.10)	0.66	83 (0.005)
DeepLWC (N=2560)	31.92 (0.065)	0.39	83 (0.005)

图 29: 1 维点源声波方程方程 1 阶 LWC 格式数据对比

数据对比

传统LWC方法	用时(s)	相对误差(%)	波场存储空间(kb)
LWC方法(N=2560)	1321	0.72	53760
深度学习方法	误差达(0.72%)用时(s)	收敛时相对误差(%)	波场存储空间(kb)
DeepLWC (N=1280)	270.94 (0.20)	0.66	83 (0.0015)
DeepLWC (N=2560)	42.56 (0.032)	0.39	83 (0.0015)

图 30: 1 维点源声波方程方程 1 阶 LWC 格式数据对比

